

Электрическое поле горизонтальной линейной заводненной антенны

© Е.Д. Терещенко,¹ П.Е. Терещенко²

¹ Полярный геофизический институт,
183010 Мурманск, Россия

² Институт земного магнетизма, ионосферы и распространения радиоволн им. Н.В. Пушкова РАН,
199034 Санкт-Петербург, Россия
e-mail: tereshchenko@gmail.com

(Поступило в редакцию 7 июня 2016 г. В окончательной редакции 8 сентября 2016 г.)

Рассмотрено возбуждение электрического поля горизонтальным заводненным источником, находящимся на границе раздела двух сред. Решение задачи представлено в виде интегралов, содержащих быстроосциллирующую функцию Бесселя. В рамках квазистационарного приближения общие формулы, описывающие поле в воде, представлены с помощью интегралов Ватсона через хорошо изученные модифицированные функции Бесселя. Показано, что в зоне, находящейся на расстоянии больше скин-слоя от антенны, вертикальная компонента определяется полем, распространяющимся исключительно в нижней среде, а компоненты, перпендикулярные антенне, имеют вид волн, распространяющихся в верхней среде без поглощения, впоследствии проникающих вглубь, изменяясь по экспоненциальному закону.

DOI: 10.21883/JTF.2017.03.44254.1917

Введение

Задача возбуждения электромагнитных волн источником, находящимся на границе раздела двух сред, имеет богатую историю, начиная с работ Зоммерфельда [1], Вейля [2], Фока, Бурсиана [3], а также более близких к настоящему времени работ Уэйта [4], Макарова [5], Вешева [6], Кинга [7] и др. Однако остаются некоторые вопросы, не нашедшие своего освещения в известной литературе, и в связи с развитием систем управления глубоко погруженными объектами, а также электромагнитных методов исследования литосферы океана [8], вновь возникает интерес к подобным задачам. В отличие от экспериментов на земной поверхности, где измеряемой величиной является поле на границе раздела, при проведении морских работ немаловажную роль играет информация об изменении поля с глубиной.

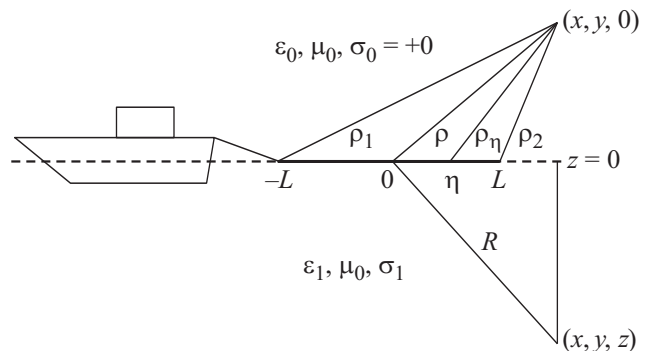
В настоящей работе получим аналитические формулы, описывающие структуру электрического поля, возбуждаемого горизонтальной линейной антенной с заводненными электродами, которую для краткости будем называть „заводненной“, и его изменение с глубиной. В рамках квазистационарного метода, являющегося хорошим приближением при описании волн крайне низкочастотного (КНЧ) и более низкого диапазонов, представим компоненты поля в виде хорошо известных функций. В отличие от широко распространенного подхода к вычислению поля на границе раздела с использованием интегралов Фока [3,6] воспользуемся двумя интегралами Ватсона [9], позволяющими определить не только поле на границе раздела, но и его изменение с глубиной.

1. Электрический вектор-потенциал и его связь с электрическим полем

Рассмотрим излучение в двуслойной среде заводненной антенны длиной $2L$, питаемой током с гармонической

зависимостью от времени $\exp(-i\omega t)$. Систему координат выбираем следующим (см. рисунок) образом. Центр декартовых координат помещаем в середину антенны, ось z направляем вверх, ось x — вдоль антенны, ось y — поперек антенны. Расстояние до точки наблюдения обозначим R , а расстояние на плоскости $(x, y, 0)$ обозначим ρ . Среду в области $z > 0$ считаем практически непроводящей ($\sigma = +0$, наличие $+0$ у нуля указывает на небольшое поглощение) с диэлектрической проницаемостью $\epsilon_0 \approx (10^{-9})/(36\pi)$ F/m и магнитной проницаемостью $\mu_0 = 4\pi \cdot 10^{-7}$ H/m. Предполагаем, что область $z < 0$ имеет электромагнитные параметры $\epsilon_1, \mu_0, \sigma_1$.

Задача возбуждения электромагнитного поля сторонним током \mathbf{J} сводится к решению уравнений Гельмгольца для электрического вектора-потенциала \mathbf{A} с соответствующими граничными условиями [4,6]. Рассматриваем излучение монохроматических волн, поэтому будем использовать уравнения для комплексных амплитуд \mathbf{A} , соответствующих монохроматическим компонентам ($\mathbf{A} \rightarrow \mathbf{A} \exp(-i\omega t)$, $\mathbf{E} \rightarrow \mathbf{E} \exp(-i\omega t)$, \mathbf{E} — электрическое поле).



Геометрия задачи.

Принимая во внимание, что источник направлен вдоль оси x (см. рисунок), представляем вектор \mathbf{A} в следующем виде:

$$\mathbf{A}^{(j)} = A_x^{(j)} \mathbf{e}_x + A_z^{(j)} \mathbf{e}_z, \quad (1)$$

где $j = 0, 1$ указывает на среду, \mathbf{e}_x и \mathbf{e}_z — единичные орты, направленные вдоль осей x и z соответственно.

Дальнейшая задача сводится к нахождению решения системы уравнений

$$\nabla^2 \mathbf{A}^{(j)} + k_j^2 \mathbf{A}^{(j)} = -\mathbf{J}, \quad j = 0, 1 \quad (2)$$

с граничными условиями

$$\begin{aligned} \mathbf{A}^{(0)}|_{z=0} &= \mathbf{A}^{(1)}|_{z=0}, & \frac{\partial A_x^{(0)}}{\partial z}|_{z=0} &= \frac{\partial A_x^{(1)}}{\partial z}|_{z=0}, \\ \frac{1}{k_0^2} \operatorname{div} \mathbf{A}^{(0)}|_{z=0} &= \frac{1}{k_1^2} \operatorname{div} \mathbf{A}^{(1)}|_{z=0}. \end{aligned} \quad (3)$$

Волновые числа k_0 и k_1 входящие в систему уравнений (2) и (3), определяются выражениями

$$k_0 = \frac{\omega}{c}(1 + i0) = \frac{\omega}{c},$$

$$k_1 = \frac{\omega}{c} \sqrt{\frac{\varepsilon_1}{\varepsilon_0} + i \frac{\sigma_1}{\omega \varepsilon_0}} = \frac{\omega}{c} \sqrt{\varepsilon_1'}. \quad (4)$$

Рассмотрим решение системы (2) с граничными условиями (3) для точечного заводненного горизонтального источника, расположенного в начале координат. В этом случае

$$\begin{aligned} \mathbf{J}^{(0)} &= J \Delta_x \delta(x) \delta(y) \delta(z - 0) \mathbf{e}_x, \\ \mathbf{J}^{(1)} &= J \Delta_x \delta(x) \delta(y) \delta(z + 0) \mathbf{e}_x, \end{aligned} \quad (5)$$

где δ — дельта-функция, J — ток, $J \Delta_x$ — дипольный момент, Δ_x — длина диполя, стремящаяся к бесконечно малой величине.

Переход к величинам, соответствующим возбуждению линейной антенной длиной $2L$, осуществляется с помощью суммирования по длине антенны. В частности, \mathcal{E} — электрическое поле, возбуждаемое линейной антенной, будет равно

$$\mathcal{E}^{(j)} = \Sigma \mathbf{E}^{(j)}(\rho_\eta, z), \quad (6)$$

где $\mathbf{E}^{(j)}(\rho_\eta, z)$ — поле диполя, находящегося в точке η антенны.

Решение системы (2) с граничными условиями (3) строится в цилиндрической системе координат (z, ρ, ϕ) в виде разложения по базисным функциям $\cos \frac{m}{2} \phi$, $m = 0, 1, \dots$, образующим полную систему на промежутке $(0, 2\pi]$ [9].

Дальнейшие шаги хорошо известны [5,6] и связаны с определением с учетом граничных условий соответствующих функций, входящих в разложение и зависящих от ρ, z . Поэтому, опуская довольно несложные преобразования, приведем конечный результат вычисления $A_x^{(j)}$ и $A_z^{(j)}$ для источника (5)

$$A_x^{(j)} = \frac{J \cdot \Delta_x}{4\pi} \int_0^\infty \frac{2i \exp(i \sqrt{k_j^2 - \lambda^2} |z|)}{\sqrt{k_0^2 - \lambda^2} + \sqrt{k_1^2 - \lambda^2}} J_0(\lambda \rho) \lambda d\lambda,$$

$$\begin{aligned} A_z^{(j)} &= \frac{J \cdot \Delta_x}{4\pi} \frac{\partial}{\partial x} (k_0^2 - k_1^2) \\ &\times \int_0^\infty \frac{2 \exp(i \sqrt{k_j^2 - \lambda^2} |z|)}{(\sqrt{k_0^2 - \lambda^2} + \sqrt{k_1^2 - \lambda^2})(k_1^2 \sqrt{k_0^2 - \lambda^2} + k_0^2 \sqrt{k_1^2 - \lambda^2})} \\ &\times J_0(\lambda \rho) \lambda d\lambda, \end{aligned} \quad (7)$$

$j = 0, 1$. Ветвь квадратного корня фиксировали, исходя из условия

$$\operatorname{Im} \sqrt{k_j^2 - \lambda^2} > 0. \quad (8)$$

Для компактности записи, а также чтобы иметь аналогию с работами по геоэлектрике [3,6], преобразуем формулу (7), введя новые обозначения

$$k_j = i\chi_j, \quad \nu_j = -i \sqrt{k_j^2 - \lambda^2} = \sqrt{\chi_j^2 + \lambda^2},$$

$$A_x^{(j)} = \frac{J \cdot \Delta_x}{4\pi} \Pi^{(j)}(\rho, z), \quad A_z^{(j)} = \frac{J \cdot \Delta_x}{4\pi} \frac{\partial}{\partial x} F^{(j)}(\rho, z). \quad (9)$$

Из соотношения (8) следует $\operatorname{Re} \nu_j > 0$, а из (9) и (7) получаем

$$\begin{aligned} \Pi^{(j)}(\rho, z) &= \int_0^\infty \frac{2}{\nu_0 + \nu_1} \exp(-\nu_j |z|) J_0(\lambda \rho) \lambda d\lambda, \\ F^{(j)}(\rho, z) &= (\chi_1^2 - \chi_0^2) \\ &\times \int_0^\infty \frac{2}{(\nu_0 + \nu_1)(\chi_0^2 \nu_1 + \chi_1^2 \nu_0)} \exp(-\nu_j |z|) J_0(\lambda \rho) \lambda d\lambda, \\ &j = 0, 1. \end{aligned} \quad (10)$$

Система (10) является базовой при вычислении электрического поля. Рассмотрим практически важный случай — поле в нижней среде (в воде). Принимая во внимание, что электрическое поле $\mathbf{E}^{(j)}$ связано с электрическим вектор-потенциалом следующим соотношением:

$$\mathbf{E}^{(1)} = i\omega \mu_0 \mathbf{A}^{(1)} - \operatorname{grad} \frac{\operatorname{div} \mathbf{A}^{(1)}}{i\omega \varepsilon_1' \varepsilon_0}, \quad (11)$$

а

$$\mathbf{A}^{(1)} = A_x^{(1)} \mathbf{e}_x + A_z^{(1)} \mathbf{e}_z,$$

получим с учетом (9)

$$\begin{aligned} E_x^{(1)} &= \frac{i\omega \mu_0}{4\pi} J \cdot \Delta_x \left[\Pi^{(1)}(\rho, z) - \frac{\partial}{\partial x} \frac{1}{\chi_1^2} \frac{\partial}{\partial x} P^{(1)}(\rho, z) \right], \\ E_y^{(1)} &= -\frac{i\omega \mu_0}{4\pi} J \cdot \Delta_x \frac{\partial}{\partial x} \left[\frac{1}{\chi_1^2} \frac{\partial}{\partial y} P^{(1)}(\rho, z) \right], \\ E_z^{(1)} &= \frac{i\omega \mu_0}{4\pi} J \cdot \Delta_x \frac{\partial}{\partial x} S^{(1)}(\rho, z), \end{aligned} \quad (12)$$

где обозначено

$$P^{(1)}(\rho, z) = \Pi^{(1)}(\rho, z) + \frac{\partial}{\partial z} F^{(1)}(\rho, z),$$

$$S^{(1)}(\rho, z) = F^{(1)}(\rho, z) - \frac{1}{\kappa_1^2} \frac{\partial}{\partial z} P^{(1)}(\rho, z). \quad (13)$$

Воспользуемся (10), тогда можно будет представить функции, определяющие $\mathbf{E}^{(1)}$, через интегралы, содержащие функции Бесселя:

$$\Pi^{(1)}(\rho, z) = \int_0^\infty \frac{2}{v_0 + v_1} \exp(v_1 z) J_0(\lambda \rho) \lambda d\lambda,$$

$$P^{(1)}(\rho, z) = \kappa_1^2 \int_0^\infty \frac{2}{\kappa_0^2 v_1 + \kappa_1^2 v_0} \exp(v_1 z) J_0(\lambda \rho) \lambda d\lambda,$$

$$S^{(1)}(\rho, z) = - \int_0^\infty \frac{2v_0}{\kappa_0^2 v_1 + \kappa_1^2 v_0} \exp(v_1 z) J_0(\lambda \rho) \lambda d\lambda. \quad (14)$$

Таким образом, имеем несобственные интегралы, содержащие осциллирующую функцию $J_0(\lambda \rho)$. Для вычисления таких интегралов существуют хорошо разработанные численные методы, в частности метод Лонгмана [10,11]. Для практически важного случая КНЧ и более низкого диапазона формулы (14) допускают упрощение и возможность их представления через хорошо исследованные функции.

2. Квазистационарное приближение

В квазистационарном приближении полагают $\kappa_0 = 0$. Физически это соответствует пренебрежению максвелловским током смещения по сравнению с током проводимости. При использовании волн очень низкой частоты хорошо выполняется условие $|\kappa_0^2/\kappa_1^2| \ll 1$, что дает возможность заменить в формулах (14) κ_0 нулем, а $v_0 \rightarrow \lambda$. Тогда будем иметь

$$\Pi(\rho, z) = \Pi^{(1)}(\rho, z)|_{\kappa_0=0} = \int_0^\infty \frac{2 \exp(v_1 z)}{v_1 + \lambda} J_0(\lambda \rho) \lambda d\lambda,$$

$$P(\rho, z) = P^{(1)}(\rho, z)|_{\kappa_0=0} = \int_0^\infty 2 \exp(v_1 z) J_0(\lambda \rho) d\lambda,$$

$$S(\rho, z) = S^{(1)}(\rho, z)|_{\kappa_0=0} = -\frac{1}{\kappa_1^2} \int_0^\infty 2 \exp(v_1 z) J_0(\lambda \rho) \lambda d\lambda. \quad (15)$$

Интегралы, определяющие $\Pi(\rho, z)$, $P(\rho, z)$ и $S(\rho, z)$, являются производными от двух интегралов Ватсона: один, определяющий падающее поле [5]

$$\int_0^\infty \frac{\exp(v_1 z)}{v_1} J_0(\lambda \rho) \lambda d\lambda = \frac{\exp(-\kappa_1 R)}{R} = \frac{\exp(ik_1 R)}{R},$$

$$R = \sqrt{\rho^2 + z^2}, \quad (16)$$

другой связан с произведением модифицированных функций Бесселя [9]

$$\int_0^\infty \frac{\exp(v_1 z)}{v_1} J_0(\lambda \rho) d\lambda = I_0(r_+) K_0(r_-), \quad (17)$$

где

$$r_+ = \frac{\kappa_1}{2}(R + z), \quad r_- = \frac{\kappa_1}{2}(R - z),$$

а I_0 и K_0 — модифицированные функции Бесселя.

Вычислим функции $\Pi(\rho, z)$, $P(\rho, z)$ и $S(\rho, z)$, используя интегралы Ватсона (16) и (17):

$$\begin{aligned} \Pi(\rho, z) &= \frac{2}{\kappa_1^2} \left[\frac{\partial^2}{\partial z^2} \frac{\exp(-\kappa_1 R)}{R} - \left(\frac{\partial^3}{\partial z^3} - \kappa_1^2 \frac{\partial}{\partial z} \right) I_0(r_+) K_0(r_-) \right], \\ P(\rho, z) &= 2 \frac{\partial}{\partial z} I_0(r_+) K_0(r_-), \\ S(\rho, z) &= -\frac{2}{\kappa_1^2} \frac{\partial}{\partial z} \frac{\exp(-\kappa_1 R)}{R}. \end{aligned} \quad (18)$$

Для определения поля линейной антенны необходимо проинтегрировать выражение (12) по длине антенны, заменив $\rho = \sqrt{x^2 + y^2}$ на $\rho_\eta = \sqrt{(x - \eta)^2 + y^2}$, $J\Delta_x \rightarrow Jd\eta$, $\frac{\partial}{\partial x} \rightarrow -\frac{\partial}{\partial \eta}$

Обозначим $\mathcal{E}^{(1)}|_{\kappa_0=0} = \mathcal{E}$ и учтем, что

$$\frac{\partial}{\partial x} = \frac{\partial \rho_\eta}{\partial x} \frac{\partial}{\partial \rho_\eta} = \frac{x - \eta}{\rho_\eta} \frac{\partial}{\partial \rho_\eta},$$

а

$$\frac{\partial}{\partial y} = \frac{\partial \rho_\eta}{\partial y} \frac{\partial}{\partial \rho_\eta} = \frac{y}{\rho_\eta} \frac{\partial}{\partial \rho_\eta},$$

тогда в результате интегрирования по η получим

$$\begin{aligned} \mathcal{E}_x &= \frac{i\omega\mu_0}{4\pi} \\ &\times J \left[\int_{-L}^L \Pi(\rho_\eta, z) d\eta + \frac{x - \eta}{\kappa_1^2 \rho_\eta} \frac{\partial}{\partial \rho_\eta} P(\rho_\eta, z) \Big|_{\eta=-L}^{\eta=L} \right], \\ \mathcal{E}_y &= \frac{i\omega\mu_0}{4\pi\kappa_1^2} J \frac{y}{\rho_\eta} \frac{\partial}{\partial \rho_\eta} P(\rho_\eta, z) \Big|_{\eta=-L}^{\eta=L}, \\ \mathcal{E}_z &= -\frac{i\omega\mu_0}{4\pi} JS(\rho_\eta, z) \Big|_{\eta=-L}^{\eta=L}. \end{aligned} \quad (19)$$

Выражения (19) — формальное решение задачи. В нем используются преобразования хорошо изученных модифицированных функций Бесселя. Для придания физической наглядности полученному решению сделаем еще ряд дополнительных шагов.

Начнем с определения поля на границе раздела $z = 0$. Для этого необходимо знать $\Pi(\rho, 0)$ и

$$\frac{1}{\rho} \frac{\partial}{\partial \rho} P(\rho, z) \Big|_{z=0}.$$

Рассмотрим

$$\frac{1}{\rho} \frac{\partial}{\partial \rho} P(\rho, z) = \frac{2}{\rho} \frac{\partial}{\partial \rho} \frac{\partial}{\partial z} I_0(r_+) K_0(r_-).$$

Для предельного перехода к $z = 0$ целесообразно продифференцировать по ρ и z произведение модифицированных функций Бесселя. Последовательно дифференцируя по ρ и z , получим

$$\begin{aligned} \frac{1}{\rho} \frac{\partial}{\partial \rho} P(\rho, z) = 2 \left[-\frac{r_+}{R^3} K_0(r_-) I_1(r_+) - \frac{r_-}{R^3} I_0(r_+) K_1(r_-) \right. \\ \left. + \frac{\kappa_1^2 z}{2R^2} (I_0(r_+) K_0(r_-) - I_1(r_+) K_1(r_-)) \right]. \end{aligned} \quad (20)$$

Отсюда следует, что при $z = 0$

$$\begin{aligned} \frac{1}{\rho} \frac{\partial}{\partial \rho} P(\rho, z) \Big|_{z=0} \\ = -\frac{\kappa_1}{\rho^2} \left[K_0 \left(\frac{\kappa_1}{2} \rho \right) I_1 \left(\frac{\kappa_1}{2} \rho \right) + I_0 \left(\frac{\kappa_1}{2} \rho \right) K_1 \left(\frac{\kappa_1}{2} \rho \right) \right]. \end{aligned}$$

В [9] показано, что выражение, находящееся в квадратных скобках, равно $2/(\kappa_1 \rho)$, и соответственно имеем

$$\frac{1}{\rho} \frac{\partial}{\partial \rho} P(\rho, z) \Big|_{z=0} = -\frac{2}{\rho^3}.$$

Следовательно, на границе раздела снизу составляющая \mathcal{E}_y электромагнитного поля будет равна

$$\mathcal{E}_y \Big|_{z=0} = -\frac{i\omega\mu_0}{2\pi\kappa_1^2} \frac{y}{\rho_\eta^3} \Big|_{\eta=-L}^{\eta=L}. \quad (21)$$

Применяя вышеописанную схему, после ряда несложных, но громоздких преобразований можно получить значение $\Pi(\rho, 0)$:

$$\Pi(\rho, 0) = \frac{2}{\kappa_1^2 \rho^3} [1 - (1 + \kappa_1 \rho) \exp(-\kappa_1 \rho)]$$

и соответственно выражение для $\mathcal{E}_x \Big|_{z=0}$:

$$\begin{aligned} \mathcal{E}_x \Big|_{z=0} = \frac{i\omega\mu_0}{2\pi\kappa_1^2} J \left[\int_{-L}^L \frac{1 - (1 + \kappa_1 \rho_\eta) \exp(-\kappa_1 \rho_\eta)}{\rho_\eta^3} d\eta \right. \\ \left. - \frac{x - \eta}{\rho_\eta^3} \Big|_{\eta=-L}^{\eta=L} \right]. \end{aligned} \quad (22)$$

Анализируя (21) и (22), видим, что составляющая \mathcal{E}_x в отличие от \mathcal{E}_y содержит экспоненциальное слагаемое, связанное с волной, распространяющейся в нижней среде. Сравнение выражений (21) и (22) с результатами, полученными для поля на границе раздела при подходе к ней сверху [6], показывает их идентичность. Этого и следовало ожидать в силу непрерывности тангенциальных

составляющих электрического поля на границе раздела двух сред.

Проанализируем поведение поля на некотором удалении от антенны и границы раздела. Учитывая, что компонента \mathcal{E}_z имеет простую структуру и практически определяется волной, идущей от источника в точку приема, рассмотрим более подробно составляющую \mathcal{E}_y .

Считаем выполненным условие $|r_+| \gg 1$ или

$$\left| (R + z) \frac{\kappa_1}{2} \right| \gg 1. \quad (23)$$

Так как $z \leq 0$, то и

$$|r_+| = \left| (R - z) \frac{\kappa_1}{2} \right| \gg 1.$$

При выполнении условий $|r_+| \gg 1$, $|r_-| \gg 1$ можно воспользоваться асимптотическими разложениями для модифицированных функций Бесселя и следующих из них асимптотических представлений для произведений модифицированных функций Бесселя:

$$\begin{aligned} I_0(r_+) K_0(r_-) &\sim \frac{\exp(\kappa_1 z)}{\kappa_1 \rho} \left[1 - \frac{\kappa_1 z}{2\kappa_1^2 \rho^2} \right], \\ I_0(r_+) K_1(r_-) &\sim \frac{\exp(\kappa_1 z)}{\kappa_1 \rho} \left[1 + \frac{\kappa_1 z}{2\kappa_1^2 \rho^2} + \frac{\kappa_1 R}{\kappa_1^2 \rho^2} \right], \\ I_1(r_+) K_0(r_-) &\sim \frac{\exp(\kappa_1 z)}{\kappa_1 \rho} \left[1 + \frac{\kappa_1 z}{2\kappa_1^2 \rho^2} - \frac{\kappa_1 R}{\kappa_1^2 \rho^2} \right], \\ I_1(r_+) K_1(r_-) &\sim \frac{\exp(\kappa_1 z)}{\kappa_1 \rho} \left[1 + \frac{3}{2} \cdot \frac{\kappa_1 z}{\kappa_1^2 \rho^2} \right]. \end{aligned} \quad (24)$$

Подстановка разложений (24) в (20) и получившегося результата в (19) дает

$$\mathcal{E}_y = -\frac{i\omega\mu_0}{2\pi\kappa_1^2} \frac{y}{\rho_\eta^3} \left[1 - \frac{z}{2R_\eta} \left(1 + \frac{3z^2}{\rho_\eta^2} \right) \frac{1}{\kappa_1 R_\eta} \right] \exp(\kappa_1 z), \quad (25)$$

где $R_\eta = \sqrt{\rho_\eta^2 + z^2}$. Учтем, что $z/R_\eta \leq 1$ и на больших расстояниях, значительно превышающих скин-слой, можно пренебречь членами, имеющими порядок $|l/(\kappa_1 R_\eta)|$, тогда из (25) получаем следующий результат:

$$\mathcal{E}_y \simeq \mathcal{E}_y \Big|_{z=0} \exp(\kappa_1 z). \quad (26)$$

Таким образом, в отличие от составляющей \mathcal{E}_z , которая описывается волной, распространяющейся исключительно в нижней среде, имеем волну, которая сперва распространяется в верхней среде без поглощения, а затем проникает на глубину вниз, испытывая изменения по экспоненциальному закону.

Выполнив аналогичные преобразования для \mathcal{E}_x , можно увидеть более сложную структуру формирования \mathcal{E}_x , которая будет суперпозицией двух волн, одна из которых, как и при формировании \mathcal{E}_z , определяется распространением исключительно в нижней среде, а другая распространяется в верхней среде, впоследствии проникая вниз.

Учитывая, что величина прямого поля в нижней среде есть величина порядка отброшенных членов в асимптотическом разложении (24), им можно пренебречь. Поэтому закономерность изменения \mathcal{E}_x с глубиной будет подобна \mathcal{E}_y .

Заключение

Таким образом, в результате проведенных вычислений получены выражения для компонент электрического поля, возбуждаемого линейной заводненной антенной, в виде интегралов, содержащих быстроосциллирующие функции. В области частот, для которых выполняется условие малости волнового числа, в вакууме по сравнению с модулем волнового числа в нижней среде, что справедливо для морской воды для частот от нуля до нескольких килогерц, найдено решение задачи в виде хорошо изученных специальных функций.

Показано, что вертикальная компонента поля формируется волной, распространяющейся исключительно в нижней среде. При этом на границе раздела горизонтальная компонента электрического поля, перпендикулярная к антенне, определяется полем, распространяющимся в верхней среде, а продольная — суммой волн в нижней и в верхней среде. В то же время при удалении от антенны изменение составляющих \mathcal{E}_x и \mathcal{E}_y с глубиной происходит по экспоненциальному закону.

Список литературы

- [1] Sommerfeld A. // Ann. Phys. 1909. Vol. 28. P. 665–736
- [2] Weil H. // Ann. Phys. 1919. Vol. 60. P. 481–500.
- [3] Бурсиан В.Р. // Теория электромагнитных полей, применяемых в электроразведке. Л.: Недра, 1972. 367 с.
- [4] Wait J.R. // Electromagnetic waves in stratified media. NY: Pergamon press, 1962. 372 p.
- [5] Макаров Г.И., Новиков В.В., Рыбачек С.Т. // Распространение электромагнитных волн над земной поверхностью. М.: Наука, 1991. 196 с.
- [6] Вешев А.В. // Электропрофилирование на постоянном и переменном токе. 2-е изд. перераб. и дополн. Л.: Недра, 1980. 391 с.
- [7] King R.W.P., Owens M., Wu Tai Tsun. Lateral Electromagnetic Waves. Theory and Applications to Communications, Geophysical Exploration and Remote Sensing. NY: Springer–Verlag, 2011. 746 p.
- [8] Жданов М.С. // Теория обратных задач и регуляция в геофизике. М.: Научный Мир, 2007. 661 с.
- [9] Градштейн И.С., Рыжик И.М. // Таблицы интегралов, сумм, рядов и произведений. М.: Физматгиз, 1962. 1100 с.
- [10] Терещенко П.Е. // ЖТФ. 2010. Т. 80. Вып. 7. С. 147–150.
- [II] Куваркин А.Б., Новикова Е.И. // Вычислительная математика и математическая физика. 1981. Т. 21. № 5. С. 1091–1099.